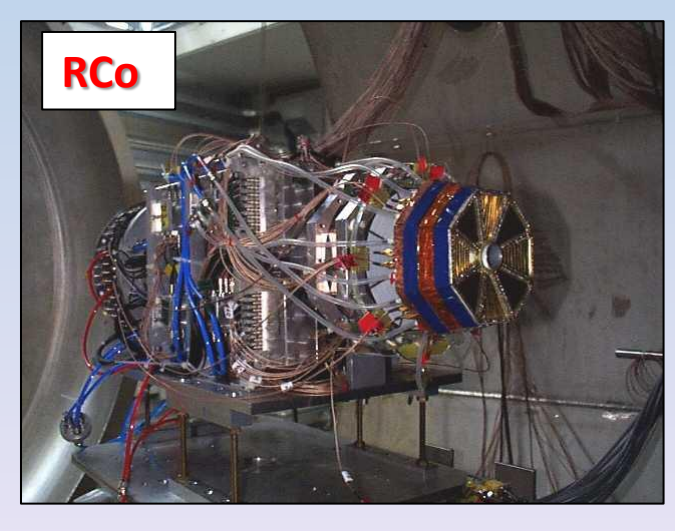
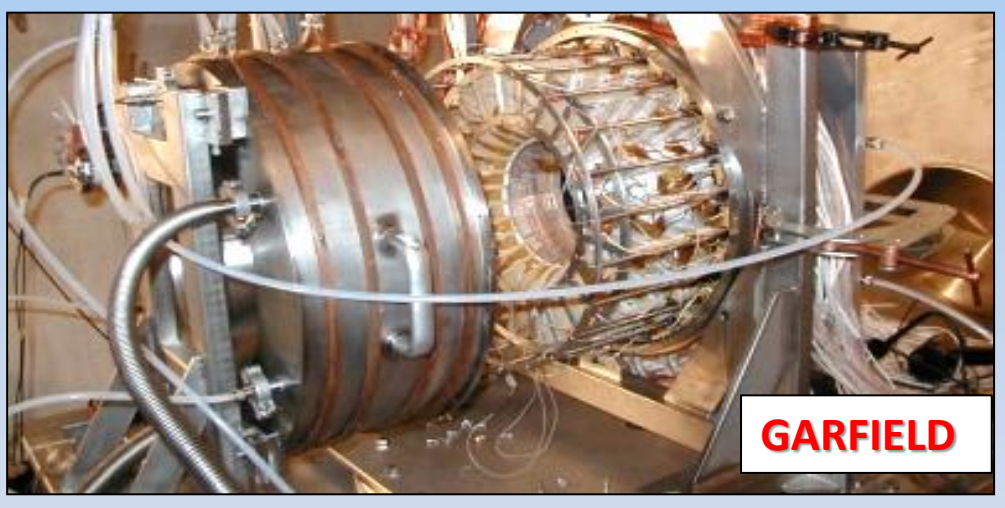
Natura a cluster dei nuclei studiata di recente con GARFIELD a Legnaro





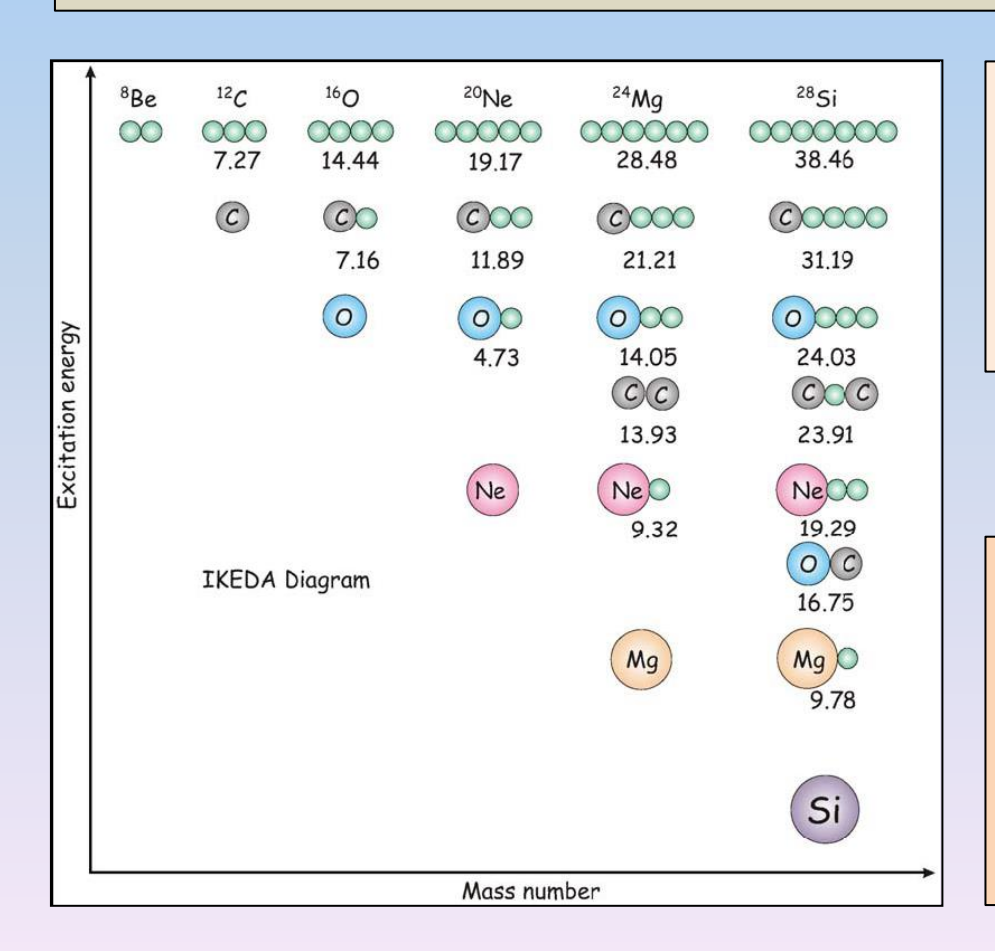






Le campagne «Delight» con GARFIELD+Rco setup:

Evidenza del clustering nucleare –inteso come pre-formazione di strutture ad alpha all'interno dei nuclei- studiando il decadimento del nucleo composto formato nell'urto di ioni leggeri

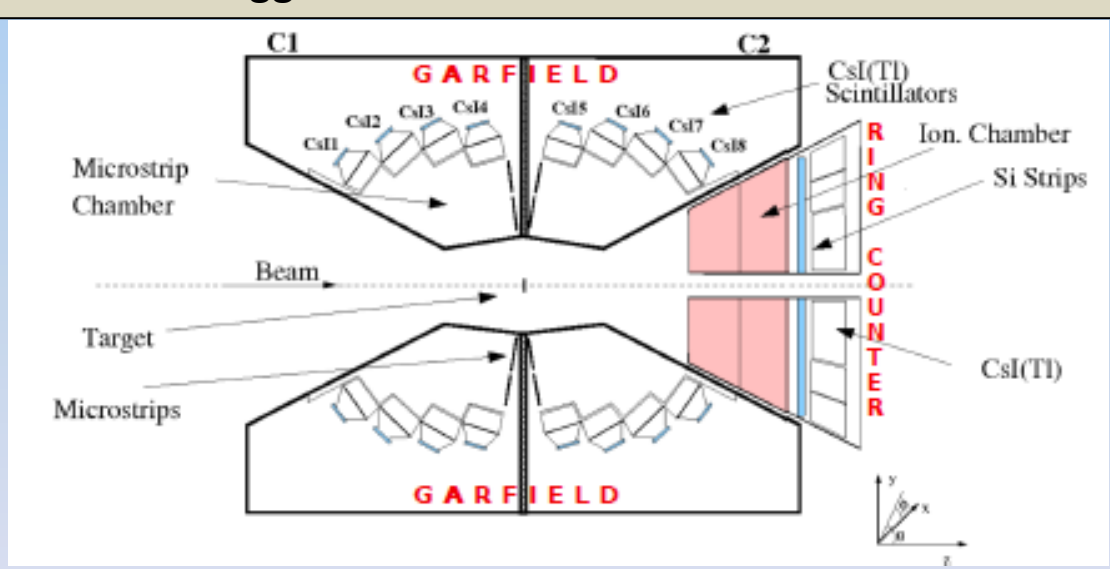


Il diagramma di IKEDA suggerisce come per gli ioni leggeri con N=Z a partire da certe soglie di energia sia possibile avere delle sotto-strutture clusterizzate ad alpha.

Creando quindi questi nuclei attraverso urti tra ioni leggeri in uno stato eccitato è possibile evidenziarne la struttura a cluster come deviazioni rispetto al comportamento puramente statistico del suo decadimento.

Le campagne «Delight» con GARFIELD+Rco setup:

Evidenza del clustering nucleare –inteso come pre-formazione di strutture ad alpha all'interno dei nuclei- studiando il decadimento del nucleo composto formato nell'urto di ioni leggeri



Copertura angolare totale di circa 80%

GARFIELD:

μSGC + CsI(TI), 180 CsI per la rivelazione di LCP e frammenti:

- ✓ Bassa soglia di identificazione(0.8– 1MeV/u)
- ✓ Buona copertura angolare 30°<θ_{lab}<150°, divisa in 24 settori azimutali
- ✓ Identificazione in Z fino a circa Z~20 ed in massa per LCP

RCo:

IC+Si+CsI(TI), 64 telescopes

- Rivelazione degli ER con basse soglie di identificazione
- Alta granularità e risoluzione angolare:
 0.8º per 5º<θ_{lah}<17º
- ✓ Ottima risoluzione energetica (Silicio a strips ~0.3% e CsI(Tl) ~2-3%)

Le campagne «Delight» con GARFIELD+Rco setup:

Evidenza del clustering nucleare –inteso come pre-formazione di strutture ad alpha all'interno dei nuclei- studiando il decadimento del nucleo composto formato nell'urto di ioni leggeri

Reazione	Efascio (MeV)	Nucleo Composto	E* _{CN} (AMeV)
¹² C+ ¹² C	95	²⁴ Mg*	2.6
¹² C+ ¹³ C	95	²⁵ Mg*	2.6
14N+10B	80.7	²⁴ Mg*	2.6
¹⁶ O+ ¹² C	90 110 130	²⁸ Si*	2 2,2 2,6
²⁴ Mg+ ¹² C	133	³⁶ Ar*	1.7
²⁴ Mg+ ¹³ C	115	³⁷ Ar*	1.7

Confronto tra lo stesso nucleo composto creato attraverso un canale di reazione α -cluster ed uno non α -cluster con un modello di decadimento statistico

Necessità di un modello statistico dedicato allo studio del decadimento dei nuclei leggeri (A<25)

HFI calculation (Baiocco et al.)

Modello di decadimento statistico nel quale sono stati inseriti e considerati i decadimento discreti per le particelle leggere

Analisi di ¹²C + ¹²C

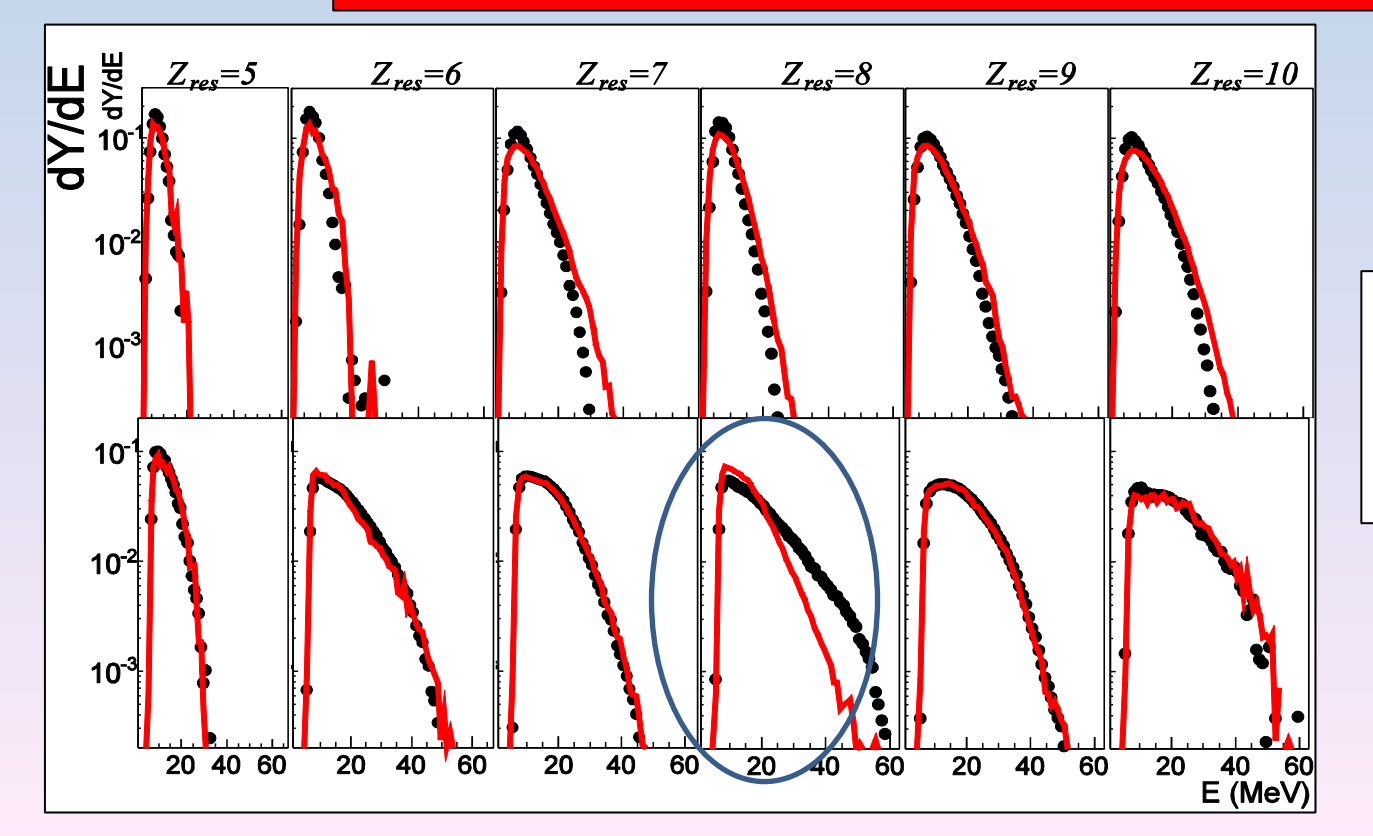
G. Baiocco et al., Phys. Rev. C 87(2013), 054614
L.Morelli et al., Journ. Of Phys. G., vol. 41(2014), 075107
L.Morelli et al., Journ. Of Phys. G., vol. 41(2014), 075108

Selezione "minimum bias": LCP in Garfield ed ER nel Rco con Z_{riv}≥10

- Buon accordo sulle variabili globali (distribuzione in Z, molteplicità....)
- Buon accordo sugli spettri energetici e sulle distribuzioni angolari per LCP in coincidenza con gli ER

...MA

problema evidente negli spettri di energia per le α per eventi COMPLETI (Z_{riv} =12) in coincidenza con Z_{ER} =8

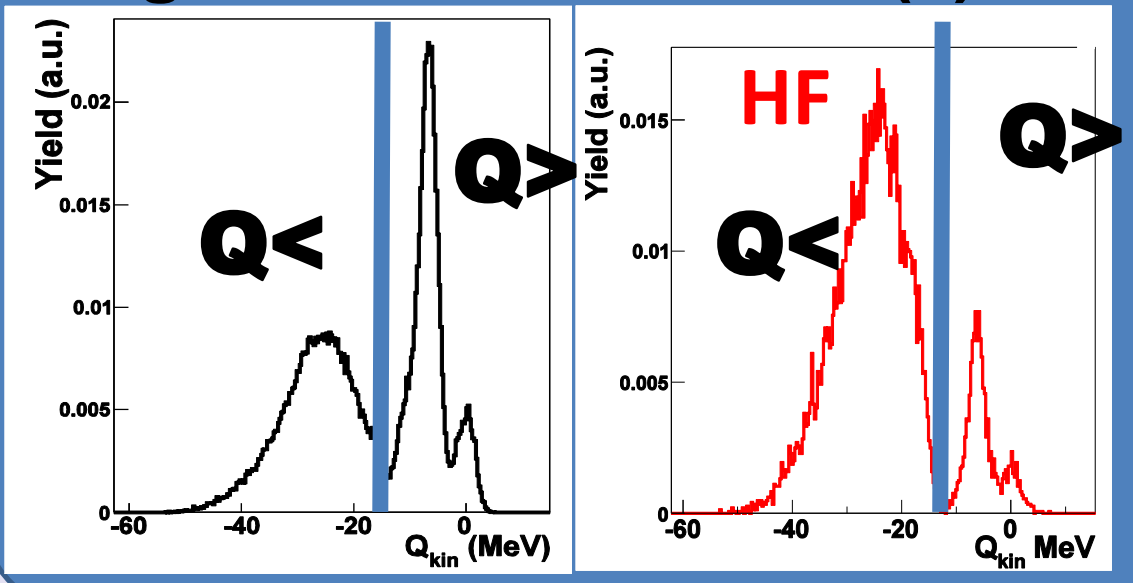


Spettri di energia di α in coincidenza con diversi Z_{ER} per eventi completi (Z_{riv} =12)

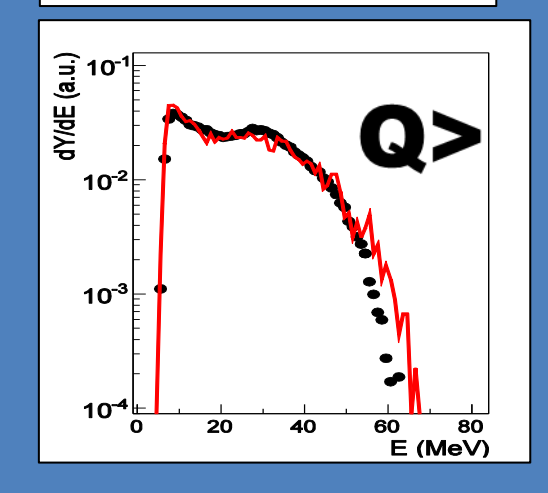
Analisi di ¹²C + ¹²C: eventi completi

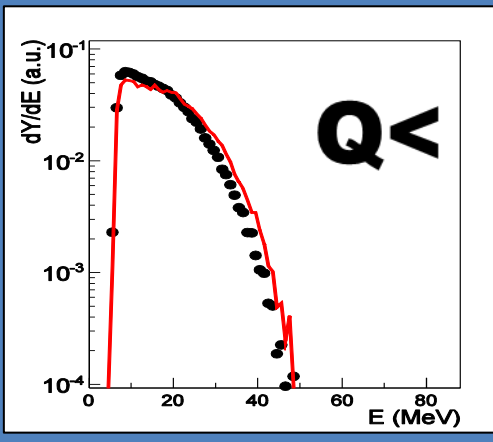
$$Q_{kin} = E_{kin} - E_{beam} = \sum_{i=1}^{N} E_i - E_{beam}$$

²⁴Mg*→×O + 2α+ neutron(s)



Spettri di energia per α in eventi completi



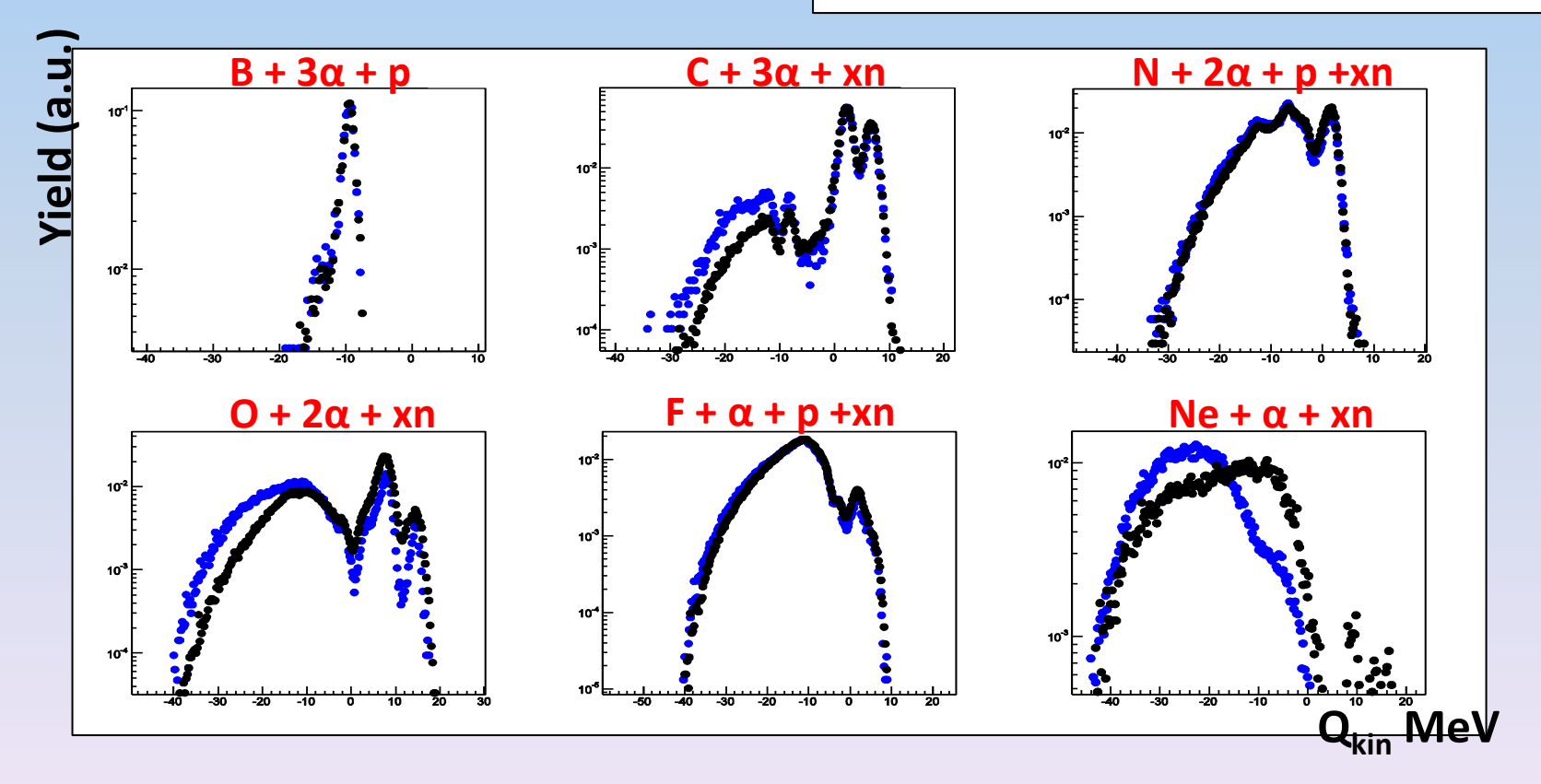


- Struttura simile nei Q-valori tra sperimentale e modello
- Evidente popolamento diverso tra I canali con (Q<) e senza (Q>) emissione di neutroni.
- Forma dello spettro in energia delle alpha associate ai 2 casi singolarmente ben riprodotta!

Analisi di¹²C + ¹²C vs ¹⁴N+¹⁰B: eventi completi

$$Q_{kin} = E_{kin} - E_{beam} = \sum_{i=1}^{N} E_i - E_{beam}$$

Dal momento che dal punto di vista del modello (statistico) I due sistemi sono UGUALI, devo fare direttamente un confronto tra I dati sperimentali



Differenze nella percentuale relativa di Q> e Q< nei canali a solo emissione di alpha: effetti del canale di entrata confermati (al netto di differenze nella distribuzione del momento angolare!)

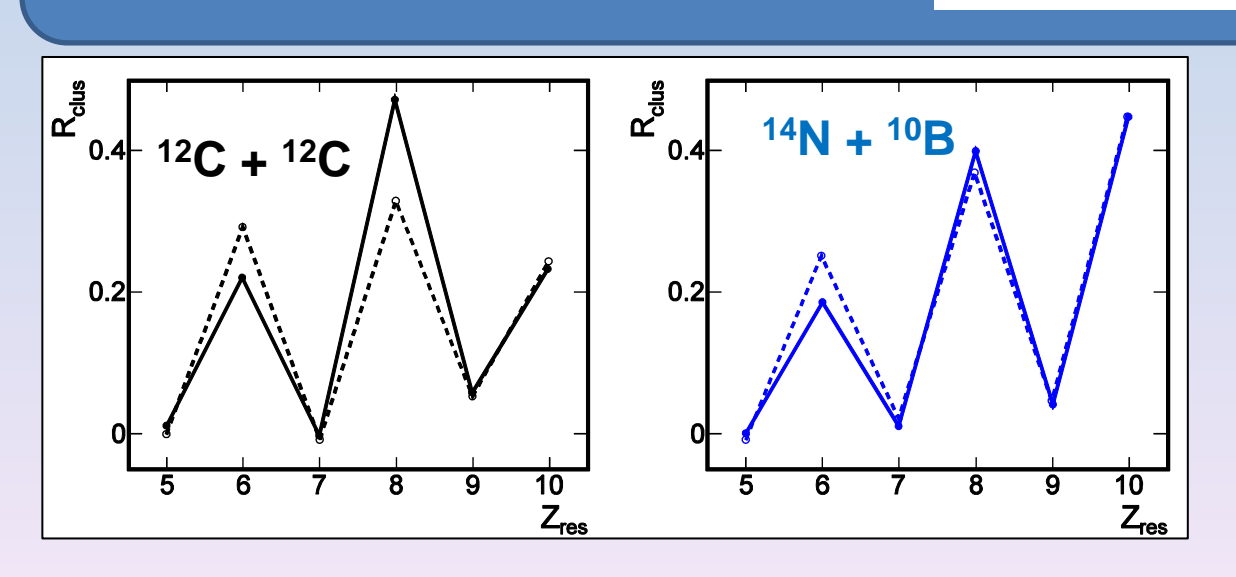
Analisi di¹²C + ¹²C vs ¹⁴N+¹⁰B: eventi completi

N+B reaction		ction	C+C reaction		
Z_{res}	channel	BR _e (N+B)	$BR_t (N+B)$	BR_e (C+C)	BR_t (C+C)
6	$C+3\alpha + xn$	96%	77%	98%	78%
8	$O+2\alpha + xn$	56%	15%	63%	15%
10	$Ne+\alpha + xn$	47%	3%	26%	3%

Le probabilità di emissione dei canali SOLO alpha sono maggiori delle previsioni statistiche per ENTRAMBI i sistemi

$$R_{clus}(Z) = \frac{Y_{exp}(Z; n_Z \alpha)}{Y_{exp}(Z)} - \frac{Y_{HF\ell}(Z; n_Z \alpha)}{Y_{HF\ell}(Z)}$$

- $Y(Z; n_Z\alpha)$ = eventi con Z_{ER} =Z e n_Z = max numero possibile di α
- $Y(Z) = numero di eventi con Z_{FR} = Z$



Le due linee corrispondono alla selezine **Q>** o **Q<** per I vari Z_{ER}

R_{clus}(Z)=0 indica un accordo con il modello statistico

- ✓ I canali con Z_{ER}=6,8,10 mostrano un decadimento alpha privilegiato
- ✓ Anche per la reazione N+B si evidenzia una struttura α-cluster nel ²⁴Mg* o nei suoi nuclei figli.

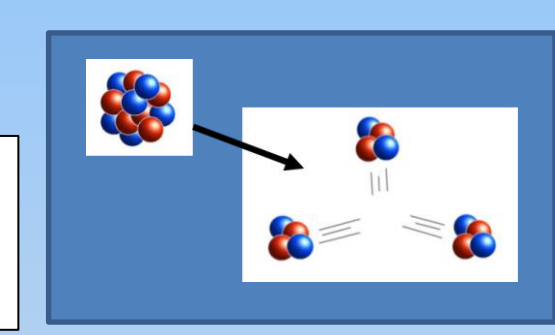
Hoyle State

L.Morelli et al., Journ. Of Phys. G., vol. 43(2016), 045110

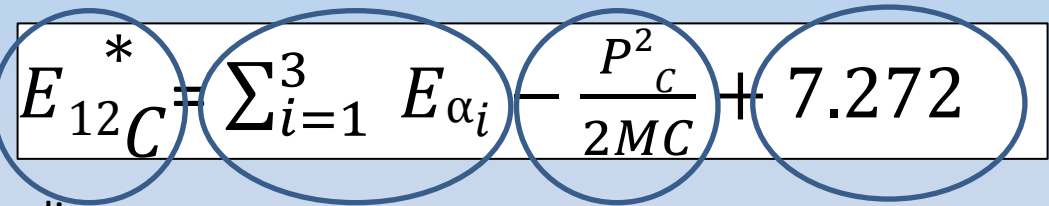
¹²C* Hoyle state in ¹²C+¹²C

¹²C+¹²C@95 MeV

Urti periferici: 12 C* come scattering inelastico del proiettile \rightarrow 3 α nel RCo e nessun altra particella



Urti periferici: selezione eventi

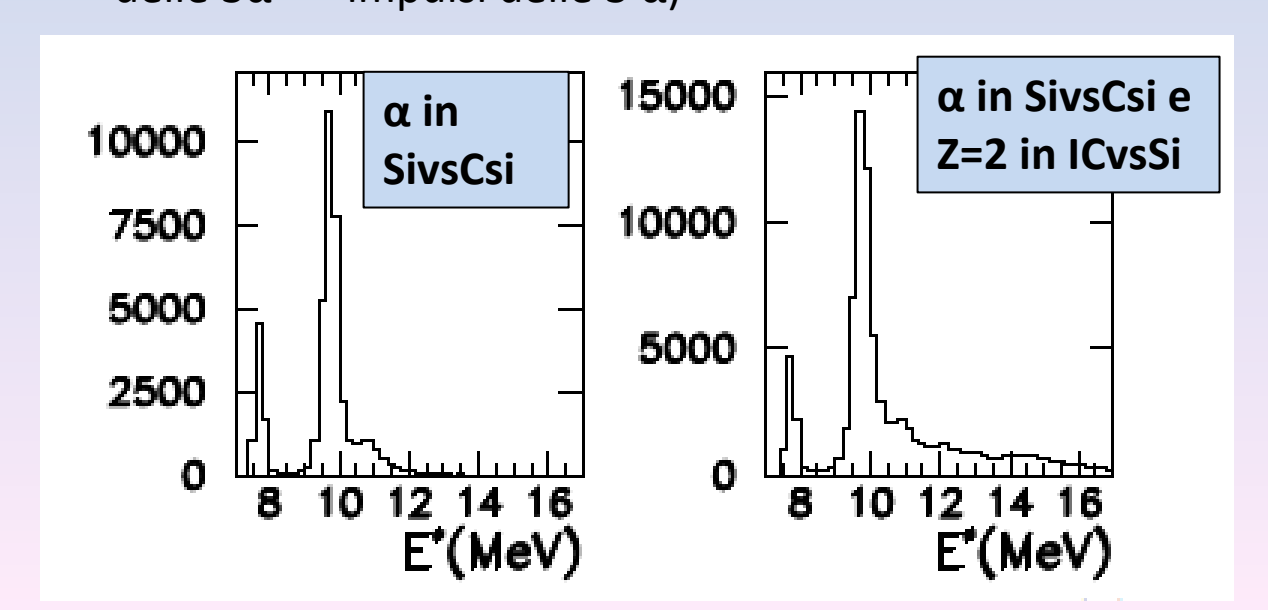


Energia di eccitazione del ¹²C ricostruito

Somma energie delle 3 α

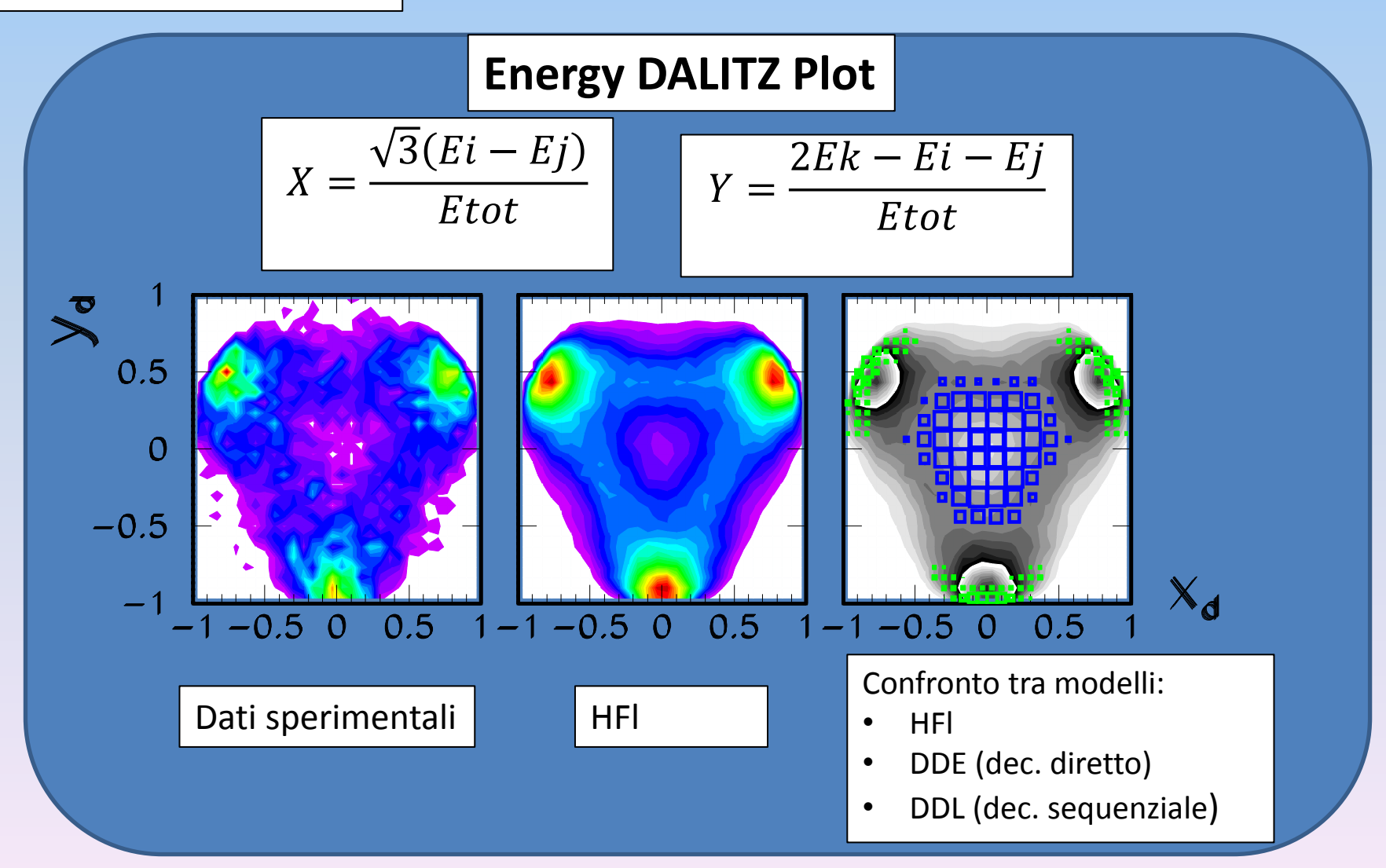
Energia cinetica ¹²C inziale (ricostruito dagli impulsi delle 3 α)

Energia minima liberata nella reazione



¹²C* Hoyle state in ¹²C+¹²C: dec. sequenziale o diretto?

Urti periferici: 12C*->3α

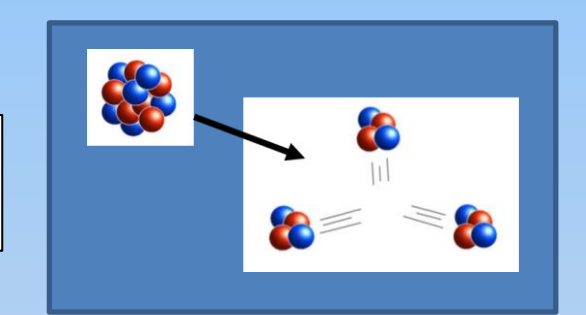


I dati sono coerenti con un decadimento sequenziale attraverso la formazione di un ⁸Be

¹²C* Hoyle state in ¹²C+¹²C

¹²C+¹²C@95 MeV

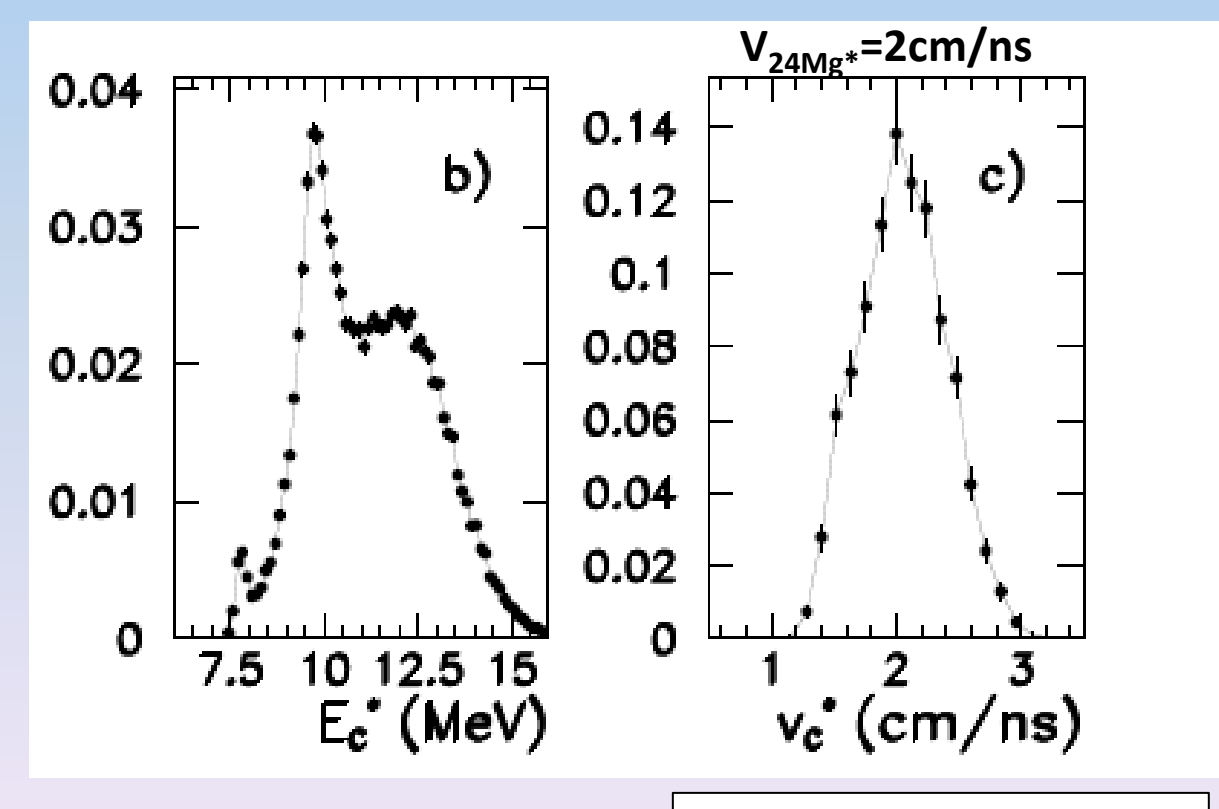
Urti centrali: ¹²C* prodotto nel decadimento del ²⁴Mg*



SELEZIONE:

- 5 particelle (per aumentare la statistica)
- Z=2 (per ragioni di soglia) rivelate in coincidenza

Check della selezione:



E_c* da 3 delle alpha rivelate

Velocità del CM delle 3α che decadono dallo stato di Hoyle

¹²C* Hoyle state in ¹²C+¹²C

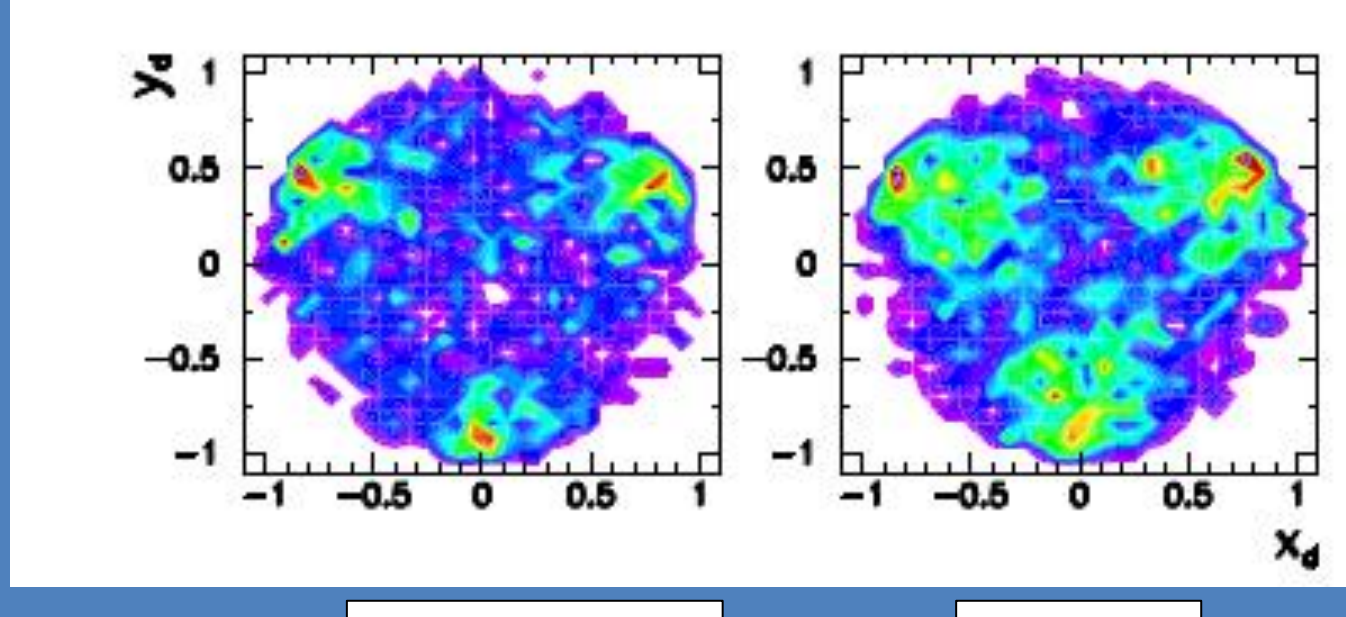
¹²C+¹²C@95 MeV

Urti centrali: ¹²C* prodotto nel decadimento del ²⁴Mg*

Energy DALITZ Plot

$$X = \frac{\sqrt{3}(Ei - Ej)}{Etot}$$

$$Y = \frac{2Ek - Ei - Ej}{Etot}$$



Dati sperimentali

HFI

GRAZIE PER L'ATTENZIONE!